

Определение характерных точек на изображении

Determination of characteristic points in the image

Акименко Т.А.

ФГБОУ ВО «Тульский государственный университет»

e-mail: tantan72@mail.ru

Akimenko T.A.

Tula State University

e-mail: tantan72@mail.ru

Ларкин Е.В.

ФГБОУ ВО «Тульский государственный университет»

e-mail: elarkin@mail.ru

Larkin E.V.

Tula State University

e-mail: elarkin@mail.ru

Звонарев Д.А.

ФГБОУ ВО «Тульский государственный университет»

e-mail: zvonarev@cz71.ru

Zvonarev D.A.

Tula State University

e-mail: zvonarev@cz71.ru

Аннотация

Предложено применить метод согласованной (оптимальной) двумерной фильтрации для определения координат идентичных особых точек в задаче определения дальности, показано, что в качестве эталонного сигнала при фильтрации изображения с левой (правой) ТВ-камеры может быть использовано изображение с правой (левой) ТВ-камеры. Разработана методика поиска особых точек на левом и правом изображениях.

Ключевые слова: фильтрация, особые точки, передаточная функция, фильтр.

Abstract

It is proposed to apply the method of coordinated (optimal) two-dimensional filtering to determine the coordinates of identical singular points in the problem of determining the range, it is shown that as a reference signal when filtering the image from the left (right) TV camera, the image from the right (left) TV camera can be used. A technique has been developed for the search for singular points on the left and right images.

Keywords: filtering, singular points, transfer function, filter.

Одним из факторов, влияющих на точность определения расстояния до препятствия, является точность нахождения характерных точек на изображении. При этом требования, предъявляемые к особым точкам, – наличие неоднородности в сигнале, в частности, точки должны быть достаточно контрастными по отношению к другим точкам. Найденные неоднородности должны быть одинаковыми на изображениях, получаемых с левой и правой ТВ-камер. Характерные особенности сигналов заключаются в том, что в особых точках полезный сигнал модулирован отлично от модуляции сигнала фона, а, следовательно, задача

сводится к поиску локальных участков сигнала со специфической модуляцией. Для решения задачи поиска участков с особой модуляцией применяется вейвлет-преобразование, которое позволяет выделять участки сигнала с заданным частотным спектром.

Поиск особых точек сводится к обнаружению в сигнале $b'(Y, Z)$ участка с известной функцией модуляции $u(Y, Z)$. Однако, в изображении, получаемом с ТВ-камеры, на сигнал $u(Y, Z)$ накладывается аддитивный шум $v(Y, Z)$. Таким образом, на обработку поступает сигнал вида

$$b'(Y, Z) = u(Y, Z) + v(Y, Z) \quad (1),$$

где $u(Y, Z)$ – детерминированная функция с известной формой, неизвестным коэффициентом масштаба и неизвестными координатами, определяющими ее положение в пространстве $YO''Z$; $v(Y, Z)$ – аддитивный белый шум, который дополняет изображение до $b'(Y, Z)$.

Любая обработка изображения сводится к его фильтрации, которая по соответствующей модели может быть выполнена или в виде свертки пространственно-сигнальной модели сигнала с импульсным откликом фильтра

$$B(Y, Z) = b'(Y, Z) * G(Y, Z) = \int_{-\infty}^{\infty} \int_{-\infty}^{\infty} b'(\tilde{Y}, \tilde{Z}) G[(Y - \tilde{Y}), (Z - \tilde{Z})] d\tilde{Y} d\tilde{Z} \quad (2)$$

или в виде произведения спектральной плотности сигнала на пространственную передаточную функцию фильтра:

$$B(\omega_Y, \omega_Z) = b'(\omega_Y, \omega_Z) \cdot G(\omega_Y, \omega_Z) \quad (3),$$

где $G(Y, Z)$ – импульсный отклик фильтра, обрабатывающего сигнал $b'(Y, Z)$; $G(\omega_Y, \omega_Z)$ – пространственная передаточная функция фильтра.

Рассмотрим модель обработки, основанную на пространственной передаточной функции фильтра:

$$\begin{aligned} b'(\omega_Y, \omega_Z) \cdot G(\omega_Y, \omega_Z) &= \mathfrak{F}[u(Y, Z) + v(Y, Z)] \cdot G(\omega_Y, \omega_Z) = \\ &= \mathfrak{F}[u(Y, Z)] + \mathfrak{F}[v(Y, Z)] \cdot G(\omega_Y, \omega_Z) = \mathfrak{F}[u(Y, Z)] \cdot G(\omega_Y, \omega_Z) + \mathfrak{F}[v(Y, Z)] \cdot G(\omega_Y, \omega_Z) = \\ &= B_u(\omega_Y, \omega_Z) + B_v(\omega_Y, \omega_Z) \end{aligned} \quad (4),$$

где $B_u(\omega_Y, \omega_Z)$ – пространственная спектральная плотность полезной составляющей сигнала после фильтрации; $B_v(\omega_Y, \omega_Z)$ – пространственная спектральная плотность шума после фильтрации.

В общем случае и $B_u(\omega_Y, \omega_Z)$ и $B_v(\omega_Y, \omega_Z)$ имеют область ненулевых значений спектральной плотности, определяемую неравенствами $-\infty < \omega_Y < \infty$; $-\infty < \omega_Z < \infty$, поэтому в каждой точке пространства частот ω_Y, ω_Z часть величины $B(\omega_Y, \omega_Z)$ создается сигналом $B_u(\omega_Y, \omega_Z)$, а часть – сигналом $B_v(\omega_Y, \omega_Z)$. Сигнал $u(Y, Z)$ может быть смещен по осям Y и Z , на величины a_Y и a_Z , соответственно. В соответствии с теоремой о смещении

$$\mathfrak{F}[u(Y - a_Y, Z - a_Z)] = u(\omega_Y, \omega_Z) \cdot \exp[-i(\omega_Y a_Y + \omega_Z a_Z)] \quad (5).$$

Таким образом, значение спектральной плотности функции зависит от величины смещения, которую необходимо определить. Текущая реализация шума является случайным процессом. Из этого следует, что из (4) зависимости с помощью фильтрации изображения в пространственно-частотной области невозможно определить смещение a_Y и a_Z функции $u(Y, Z)$ по осям Y и Z (одно из проявлений принципа неопределенности Гейзенберга). Таким образом, для локализации сигнала $u(Y - a_Y, Z - a_Z)$ должна быть использована другая модель, в качестве которой может быть использована фильтрация в сигнальной области вида (2).

Импульсный отклик фильтра $G(Y, Z)$ должен быть подобран таким образом, чтобы минимизировать ошибку

$$\varepsilon^2 = \frac{1}{(Y_{max} - Y_{min})(Z_{max} - Z_{min})} \int_{Z_{min}}^{Z_{max}} \int_{Y_{min}}^{Y_{max}} [B(Y, Z) - u(Y, Z)]^2 dYdZ \quad (6),$$

где $(Y_{max} - Y_{min}), (Z_{max} - Z_{min})$ – интервал наблюдения сигнала.

Очевидно, что зависимость (6) будет выполняться, если после фильтрации (2) в сигнале $B(Y, Z)$ будет обеспечиваться максимальное соотношение сигнал / шум.

Пусть фильтр с импульсным откликом $G(Y, Z)$ и сигнал $b'(Y, Z)$ определены на интервале $0 \leq t \leq \infty$. Если с помощью фильтра $G(Y, Z)$ обрабатывается белый шум $v(Y, Z)$, то мощность шума после обработки определяется зависимостью

$$N_v = \int_{-\infty}^{\infty} \int_{-\infty}^{\infty} G^2(Y, Z) dYdZ \quad (7).$$

В результате обработки (1) в сигнальной области, полезный сигнал искажается, и отношение сигнал / шум, формируемое после обработки вейвлетом, определяется как

$$E = \frac{\left[\int_{-\infty}^{\infty} \int_{-\infty}^{\infty} u(\tilde{Y}, \tilde{Z}) G[(Y - \tilde{Y}), (Z - \tilde{Z})] d\tilde{Y} d\tilde{Z} \right]^2}{\int_{-\infty}^{\infty} \int_{-\infty}^{\infty} G^2(Y, Z) dYdZ} \quad (8),$$

где $\left[\int_{-\infty}^{\infty} \int_{-\infty}^{\infty} u(\tilde{Y}, \tilde{Z}) G[(Y - \tilde{Y}), (Z - \tilde{Z})] d\tilde{Y} d\tilde{Z} \right]^2$ – мощность полезного сигнала после обработки фильтром.

Применим к (8) неравенство Шварца-Буняковского, согласно которому

$$\left[\int_{t_1}^{t_2} \xi(t) \zeta(t) dt \right]^2 \leq \int_{t_1}^{t_2} \xi^2(t) dt \int_{t_1}^{t_2} \zeta^2(t) dt, \text{ причем равенство имеет место тогда и только тогда, когда}$$

$\xi(t) = \kappa_{\zeta} \zeta(t)$ и κ_{ζ} есть некоторая постоянная величина, не зависящая от t . В результате получим:

$$\frac{\left[\int_{-\infty}^{\infty} \int_{-\infty}^{\infty} u(\tilde{Y}, \tilde{Z}) G[(Y - \tilde{Y}), (Z - \tilde{Z})] d\tilde{Y} d\tilde{Z} \right]^2}{\int_{-\infty}^{\infty} \int_{-\infty}^{\infty} G^2(Y, Z) dYdZ} \leq \frac{\left[\int_{-\infty}^{\infty} \int_{-\infty}^{\infty} u^2(\tilde{Y}, \tilde{Z}) d\tilde{Y} d\tilde{Z} \cdot \int_{-\infty}^{\infty} \int_{-\infty}^{\infty} G^2[(Y - \tilde{Y}), (Z - \tilde{Z})] d\tilde{Y} d\tilde{Z} \right]^2}{\int_{-\infty}^{\infty} \int_{-\infty}^{\infty} G^2(Y, Z) dYdZ} \quad (9).$$

В соответствии с неравенством Шварца-Буняковского (9) будет иметь максимальное значение, и нестрогое неравенство обращается в равенство, если

$$u(\tilde{Y}, \tilde{Z}) = \kappa_G G[(Y - \tilde{Y}), (Z - \tilde{Z})] \quad (10),$$

где κ_G – выравнивающий коэффициент.

Положим, что фильтр является несмещенным, и в (10) $Y = 0, Z = 0$. Тогда из (10) следует, что

$$u(\tilde{Y}, \tilde{Z}) = \kappa_G G[(-\tilde{Y}), (-\tilde{Z})],$$

или

$$G^*(Y, Z) = \frac{1}{\kappa_G} u[(-Y), (-Z)] \quad (11),$$

где $G^*(Y, Z)$ – согласованный фильтр, обеспечивающий оптимальное соотношение сигнал /

шум после обработки изображения.

Отметим, что требуемый пространственный импульсный отклик фильтра $G^*(Y,Z)$ имеет форму полезного сигнала, построенного в обратных координатах, $-Y, -Z$. Смещение фильтра в процессе вычисления интеграла свертки является переменной величиной, и поэтому можно утверждать, что максимального значения выходной сигнал $B(Y,Z)$ достигает, когда у фильтра $Y - a_Y = 0, Z - a_Z = 0$, т.е. пространственные координаты фильтра совпадают с пространственными координатами сигнала (рис. 1).

Применим к операции свертки (2) правило коммутативности и подставим в указанную зависимость вместо фильтра $G(Y,Z)$ его оптимальное значение (11), равное $\frac{1}{\kappa_G} u[(-Y), (-Z)]$.

После подстановки (2) принимает вид:

$$B^*(Y,Z) = \frac{1}{\kappa_G} \int_{-\infty}^{\infty} \int_{-\infty}^{\infty} b'[(Y - \tilde{Y}), (Z - \tilde{Z})] u[(-\tilde{Y}), (-\tilde{Z})] d\tilde{Y} d\tilde{Z} \quad (12).$$

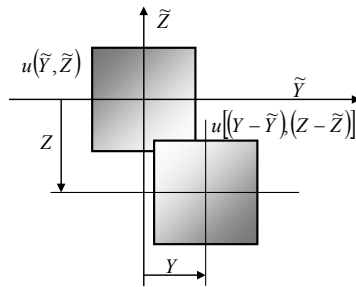


Рис. 1. К построению оптимального фильтра

Заменим в (12) $\tilde{Y} - Y = \hat{Y}$, $\tilde{Z} - Z = \hat{Z}$, откуда $d\tilde{Y} = d\hat{Y}$; $d\tilde{Z} = d\hat{Z}$. В этом случае (12) принимает вид:

$$B^*(Y,Z) = \frac{1}{\kappa_G} \int_{-\infty}^{\infty} \int_{-\infty}^{\infty} b'[(-\hat{Y}), (-\hat{Z})] u[(-Y - \hat{Y}), (-Z - \hat{Z})] d\hat{Y} d\hat{Z} \quad (13).$$

Очевидно, что значение интеграла не изменится, если в перемножаемых подынтегральных функциях изменить аргументы на их обратное значение, т.е.

$$B^*(Y,Z) = \frac{1}{\kappa_G} \int_{-\infty}^{\infty} \int_{-\infty}^{\infty} b'(\hat{Y}, \hat{Z}) u[(Y + \hat{Y}), (Z + \hat{Z})] d\hat{Y} d\hat{Z} \quad (14).$$

Зависимость (14) представляет собой корреляцию сигналов $b'(\hat{Y}, \hat{Z})$ и $u[(\hat{Y}), (\hat{Z})]$. Корреляция достигает максимума, если $Y = 0, Z = 0$. Это свойство согласованного фильтра может быть использовано для поиска идентичных особых точек в задаче определения дальности.

Пусть в системе бинокулярного зрения обрабатывается левое изображение $b'_l(Y_l, Z_l)$, а форма сигнала берется с правого изображения $u_r(Y_r, Z_r)$. Тогда в качестве особой точки для определения дальности может использоваться центр полезного сигнала правого изображения $u_r(Y_r, Z_r)$. На левом изображении особая точка будет определяться по зависимости:

$$(Y_l^*, Z_l^*) = \arg \max \left\{ \frac{1}{\kappa_G} \int_{-\infty}^{\infty} \int_{-\infty}^{\infty} b'_l(\hat{Y}_l, \hat{Z}_l) u_r[(Y_l + \hat{Y}_l), (Z_l + \hat{Z}_l)] d\hat{Y}_l d\hat{Z}_l \right\} \quad (15).$$

И, наоборот, если в системе бинокулярного зрения обрабатывается правое изображение $b'_r(Y_r, Z_r)$, а форма сигнала берется с левого изображения $u_l(Y_l, Z_l)$, то в качестве особой точки для определения дальности может использоваться центр полезного сигнала левого изображения $u_l(Y_l, Z_l)$, а на левом изображении особая точка будет определяться по зависимости:

$$(Y_r^*, Z_r^*) = \arg \max \left\{ \frac{1}{\kappa_G} \int_{-\infty}^{\infty} \int_{-\infty}^{\infty} b'_r(\hat{Y}_r, \hat{Z}_r) u_l[(Y_r + \hat{Y}_r), (Z_r + \hat{Z}_r)] d\hat{Y}_r d\hat{Z}_r \right\} \quad (16).$$

Из приведенных выкладок следует методика для поиска идентичных точек на левом и правом изображениях.

Методика. Поиск особых точек на левом и правом изображениях.

1. Выделение на правом изображении области $Y_{r \min} \leq Y_r \leq Y_{r \max}$, $Z_{r \min} \leq Z_r \leq Z_{r \max}$ и нахождение центра области по зависимости:

$$Y_r^\circ = \frac{Y_{r \min} + Y_{r \max}}{2}; \quad (17).$$

$$Z_r^\circ = \frac{Z_{r \min} + Z_{r \max}}{2}$$

2. Определение части изображения сцены в указанной области как эталонного:

$$u_r(Y_r, Z_r) = \begin{cases} b'_r(Y_r, Z_r) \text{ при } Y_{r \min} \leq Y_r \leq Y_{r \max}, Z_{r \min} \leq Z_r \leq Z_{r \max}; \\ 0 \text{ во всех остальных случаях.} \end{cases} \quad (18).$$

3. Поиск центра (Y_l^*, Z_l^*) образа, идентичного (18) на левом изображении по зависимости (15).

4. Определение границ образа, идентичного (18) на левом изображении по зависимости

$$Y_{l \min} = Y_l^* - \frac{Y_{r \max} - Y_{r \min}}{2};$$

$$Y_{l \max} = Y_l^* + \frac{Y_{r \max} - Y_{r \min}}{2}. \quad (19).$$

$$Z_{l \min} = Z_l^* - \frac{Z_{r \max} - Z_{r \min}}{2};$$

$$Z_{l \max} = Z_l^* + \frac{Z_{r \max} - Z_{r \min}}{2}$$

5. Определение части изображения сцены в области $Y_{l \min} \leq Y_l \leq Y_{l \max}$, $Z_{l \min} \leq Z_l \leq Z_{l \max}$ как эталонного:

$$u_l(Y_l, Z_l) = \begin{cases} b'_l(Y_l, Z_l) \text{ при } Y_{l \min} \leq Y_l \leq Y_{l \max}, Z_{l \min} \leq Z_l \leq Z_{l \max}; \\ 0 \text{ во всех остальных случаях.} \end{cases} \quad (20).$$

6. Поиск центра (Y_r^*, Z_r^*) образа, идентичного (20) на правом изображении по зависимости (16).

7. Определение ошибки идентификации

$$\varepsilon_{Y_r} = |Y_r^\circ - Y_r^*|; \quad \varepsilon_{Z_r} = |Z_r^\circ - Z_r^*| \quad (21).$$

Если ошибка хотя бы по одной координате, больше заданной, повторить поиск с другим исходным центром (Y_r°, Z_r°) .

8. Выдача информации: координаты особой точки на левом и правом изображении (Y_r°, Z_r°) , (Y_l^*, Z_l^*) .

Литература

1. *Абузова И.В., Игнатъев В.М., Ларкин Е.В.* Сканирующие системы с повышенным разрешением. – Тула: ТулГУ, 1996. – 88 с.
2. *Акаев А.А., Майоров С.А.* Оптические методы обработки информации. - М.: Высшая школа, 1988. - 432с.
3. *Андрьянов А.В., Шпак И.И.* Цифровая обработка информации в измерительных приборах и системах. – Минск: Высшэйшая школа, 1987. – 176 с.
4. *Ларкин Е.В., Первак И.Е.* Отображение графической информации. – Тула: ТулГУ, 2000. – 109 с.